

III-26 水制の水理に関する実験的考察

山口大学工学部

椿 東一郎

河中 b 流量 Q(単位m³/s), 水深 h, 流速 V の河川に長さ B, 高さ B' の不透過水制を設けた場合、最も問題となる点は、(1)護岸の見地から非溢流型水制の背後に形成される渦領域の形状と溢流型水制においては、横流水と主流との速度差による拡散の様子と側壁速度 V_w の回復状態、(2)流路の安定、河床の変動に関連して、主流部に誘起される速度増加、(3)水制自体の安定の立場から、水制の近傍に誘起される局地的な流れ、これらに溢流水による底面速度 V_bなどであろう。これらの問題を定量的に調べるために、山口大学工学部の実験水路において、一つの不透過水制が直角に出された場合について表-Iに示すような実験を行った。なお水路床は水平で、流速の測定には径 1cm のプロペラ型流速計及び管型に排列したピト一管を使用した。

I. 非溢流型水制

水制の尖端から出る不連續流れは下流に行くにつれて拡散し、流れの場合は流速分布が主流部③と、流速が急激に減少してゆく拡散領域④及び側壁附近の逆流領域⑤に分けることができる。③と④との境界を L_d, ④と⑤との境界を L_rとするとき、これらは m によって著しく変化し、また流れの左側に射流部を生じる。

表-I. 実験の項目

	A _{cm}	B	B'	$m = \frac{B}{B'}$
非溢流型水制	80	10	0.195	
	80	20	0.25	
	40	10	0.25	
	40	20	0.50	
全冲縫	80	80	5.3	1.0
	80	80	2.8	1.0
溢流型水制	80	20	5.3	0.25
	80	20	3.0	0.25
	40	20	5.3	0.5
	40	20	2.8	0.5
	80	40	5.3	0.5
	80	60	5.3	0.67

得られた主な結果は次のようである。

(a) 流れの一端に射流があらわれる場合には、流量公式(揚上げ式)は $Q = (1-2m) \frac{1}{\sqrt{2}} (\frac{2}{3})^{\frac{3}{2}} V_0 g e_s^3$ --- (1) である。流れの領域が常流のときには、 $Q = C'(1-2m) h \sqrt{2g(e_s - h)}$ ($C' \approx 1.0$) で表わされる。

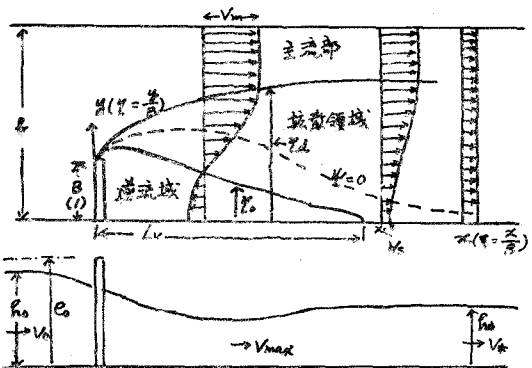
(b) 二つの型の流量公式に対する漏の長さ L_y/B を h_y/B に對してプロットすると、 L_y/B の値は限界値 (h_y/B_c) を境にして不連續的に大きくなり、流れが常流のときには $L_y/B = 8 \sim 16.5$ の範囲にある。この領域における L_y/B は h_y/B_c と m にはほぼ比例關係であって、相対水深 h_y/B と相應ともち、 $h_y/B \rightarrow 0$ において $L_y/B \rightarrow \infty$ である。 (1)式よりさめられたみ及ぶ $(h_y/B)_c$ の値を表-IIに記した。

表-II

m	$2(h_y/B)_c$	V_{max}/V_0	$3m$	$\frac{V_{max}}{V_0}$	S_s
0.125	1.64	0.71	1.38	6	-0.3
0.25	1.42	0.67	1.86	4	-0.45
0.50	1.085	0.63	2.90	2	-0.6

(c) 主流に誘起される最大速度 V_{max}/V_0 及びその位置 h_y/B 及び側壁に沿う逆流の最大速度 $\frac{V_{max}}{V_0}$ 及びその位置 h_s/B の値は、主として m によって決まり、表-IIに示した程度になる。

2. 溢流の性質



低い m ($m=1$ の場合) の溢流係数 $C = \frac{g}{V_0^2 g e^3}$ は下流水位 h'_0/e の増加とともに、完全溢流、不完全溢流、及ぶ潜り堰の状態を経過することはよく知られていますが、この二つに対応して底面端の長さ $L'_{B'}$ を h'_0/e に対してプロットすると、その値は $h'_0/e \div 0.79$ を境にして $1.0 \sim 2.5$ の値より不連續的に増大し、 $h'_0/e \geq 0.8$ では大きな底面端が形成される。 $(L'_{B'} = 8 \sim 10)$ 溢流型水制においても、その傾向は $m=1$ の場合と同様であるが、底面端状態における端の長さ $L'_{B'}$ の値及び h'_0/e の限界値は以下の如きの減少とともに小さくなり、 $m=0.25$ では $L'_{B'} = 5.5 \sim 6.5$, $(h'_0/e) = 0.66$ となる。したがって、水制の根が浅瀬となるのは h'_0/e が限界値をこえた後表面端の状態に限られる。この場合底面における最大速度 V_{max} を表すために、射流の露出状態における速度 $V_l (\frac{V_l}{V_0})$ は B'/e の関数として求められる(及ぶ露出限界における下流水深 h'_0/e を導入し、 $\frac{V_{max}}{V_l} \times \frac{h'_0 - h'_0/e}{B'}$ の関係を求めて、渦流の底面及び m の影響を知ることができる)。なお、溢流型水制の流量係数は、流量が水制上と河川部とに分割されるものと仮定して、 $Q = C_1 (1 - 2m) h'_0 \sqrt{2g(e_0 - h'_0)} + m Q_w$ とおき、 Q_w については全中堰の式を用いて、 $C_1 \propto B'^{1/m}$ の関係を実験的に求めた。

3. 溢流型水制によって誘起される流れ

m を一定に保ち、流量配分 $\Psi = \frac{Q_w}{Q}$ を変化させて流れの模様をレーベルみる、主流部と拡散領域及び溢流水によって形成される一様速度の領域におけることができる。兩者の限界を ξ_1 , ξ_2 とする、 ξ_1 は Ψ がますとともに $\Psi = 0$ の非溢流の値から減少し、 $\Psi = 0.7$ で $\xi_1 = 1$ となる。これに対して、 ξ_2 は Ψ にはばく無関係であって、 $\Psi = 0$ における側壁に到達する。

(4) 主流流速の変化: m を一定に保ち、 Ψ をパラメーターとして $\frac{V_m}{V_0}$ を Ψ に対してプロットすると、最大流速 $\frac{V_{max}}{V_0}$ は次式

$$(\frac{V_{max}}{V_0} - 1) / ((\frac{V_{max}}{V_0})_{\text{非溢流}} - 1) = 0.55(1-\Psi) + 0.45(1-\Psi)^2$$

で与えられ、かつ最大流速は Ψ の増加とともに水制の方に移動していく。

(5) 側壁速度の変化: m を一定に保ち、 Ψ をパラメーターとして $\frac{V_s}{V_0}$ を Ψ に対してプロットすると、 Ψ が小さい場合には壁面に逆流があらわれ非溢流水制に近い性質を示すが、 Ψ が大きくなると $\frac{V_s}{V_0}$ の変化は小さく、かつその値は 1 に近づき水制としての効果が失なれていくことがわかる。また $\Psi = 1$ の場合の流速の回復状態をみると、 $\xi = 10$ までは溢流水の直接の影響をうけるが、 $\xi = 10$ より $\xi = 8$ までは一様流速($\frac{V_0}{14}$)で、 $\xi = 8$ より増加し初め、それには $\xi = 13 \sim 16$ より $\frac{V_s}{V_0}$ は異なった曲線に沿って回復していく。このように側壁速度が2段階で回復していくのは、前者は拡散領域 ξ_2 が側壁に達するところ、後者は非溢流状態における端の終点に対応するものであらう。側壁速度と流量配分との関係を示す具体的な図表として、 $\frac{V_s}{V_0}$, $(\frac{V_s}{V_0})_{\xi=10}$, $(\frac{V_s}{V_0})_{\xi=15}$, 及び $(\frac{V_s}{V_0})_{\xi=20}$ を Ψ に対してプロットすると、 $\frac{V_s}{V_0}$ が m によって若干系統的な差異を示す他は、実用上 m にはばく無関係とみなして差支えない程度である。

